

## 论著·基础研究

# 表没食子儿茶素没食子酸酯对 3T3-L1 脂肪细胞氧化应激和炎症水平的影响

买地娜依·库得来提<sup>1</sup>, 唐文静<sup>2</sup>, 何雯楠<sup>2</sup>, 汪佳璐<sup>2</sup>, 宋还雷<sup>3</sup>, 沈秀华<sup>2,3</sup>

1. 上海交通大学公共卫生学院, 上海 200025; 2. 上海交通大学医学院营养系, 上海 200025; 3. 上海交通大学医学院附属新华医院临床营养科, 上海 200092

**[摘要]** 目的· 初步探索表没食子儿茶素没食子酸酯(epigallocatechin-3-gallate, EGCG) 对 3T3-L1 脂肪细胞氧化应激和炎症水平的影响, 为 EGCG 防治肥胖及其相关慢性病提供理论依据。方法· 采用体外细胞培养法, 将 3T3-L1 前脂肪细胞诱导分化为成熟 3T3-L1 脂肪细胞。实验分组为空白对照组, 1 μg/mL、10 μg/mL、50 μg/mL EGCG 组, 干预 24 h, 检测细胞内氧化应激指标谷胱甘肽(glutathione, GSH)、超氧化物歧化酶(superoxide dismutase, SOD)、丙二醛(malondialdehyde, MDA) 含量; 采用 ELISA 法、实时荧光定量 PCR 法分别检测炎症指标白细胞介素-6(interleukin-6, IL-6)、肿瘤坏死因子-α(tumor necrosis factor-α, TNF-α)、单核细胞趋化蛋白-1(monocyte chemoattractant protein-1, MCP-1) 含量和 mRNA 水平, 采用实时荧光定量 PCR 法检测核因子 E2 相关因子 2(nuclear factor E2-related factor 2, Nrf2)、血红素氧合酶-1(heme oxygenase-1, HO-1) 表达量。结果· EGCG 各干预组 3T3-L1 脂肪细胞内 GSH、SOD 含量均较空白对照组升高(均  $P < 0.05$ ), MDA 含量则均较空白对照组降低(均  $P < 0.05$ ), 并呈剂量依赖性。经 ELISA 法检测发现 1 μg/mL、10 μg/mL、50 μg/mL EGCG 干预后 3T3-L1 脂肪细胞上清液中 IL-6、MCP-1 和 TNF-α 的含量均较对照组显著下降(均  $P < 0.05$ ), 并呈剂量依赖性; 经实时荧光定量 PCR 法检测发现不同浓度 EGCG 干预 24 h 后, 3T3-L1 脂肪细胞内 IL-6、MCP-1、TNF-α mRNA 表达量均较对照组逐渐下降, 呈剂量依赖性; 经 10 μg/mL、50 μg/mL EGCG 干预 24 h 后 Nrf2、HO-1 mRNA 表达量均较对照组显著上升(均  $P < 0.05$ )。结论· EGCG 可以抑制 3T3-L1 脂肪细胞的氧化应激和炎症水平, 此作用可能与上调 Nrf2/HO-1 有关。

**[关键词]** 表没食子儿茶素没食子酸酯(EGCG); 肥胖; 脂肪细胞; 氧化应激; 炎症

**[DOI]** 10.3969/j.issn.1674-8115.2018.11.003 **[中图分类号]** R96 **[文献标志码]** A

## Effect of epigallocatechin-3-gallate on oxidative stress and inflammation in 3T3-L1 adipocytes

Maidinayi · KUDELAITI<sup>1</sup>, TANG Wen-jing<sup>2</sup>, HE Wen-nan<sup>2</sup>, WANG Jia-lu<sup>2</sup>, SONG Huan-lei<sup>3</sup>, SHEN Xiu-hua<sup>2,3</sup>

1. Shanghai Jiao Tong University School of Public Health, Shanghai 200025, China; 2. Faculty of Nutrition, Shanghai Jiao Tong University School of Medicine, Shanghai 200025, China; 3. Department of Clinical Nutrition, Xinhua Hospital, Shanghai Jiao Tong University School of Medicine, Shanghai 200092, China

**[Abstract]** Objective· To explore the effect of epigallocatechin-3-gallate (EGCG) on oxidative stress and inflammation in 3T3-L1 adipocytes, and provide a theoretical basis for EGCG to prevent obesity and related chronic diseases. Methods· 3T3-L1 preadipocytes were differentiated to mature adipocytes by *in vitro* cell culture. The cells were divided into blank control group, and 1, 10 and 50 μg/mL EGCG groups. After 24 hour treatment, intracellular oxidative stress indicators glutathione (GSH), superoxide dismutase (SOD), and malondialdehyde (MDA) levels in the cells were measured. The levels of inflammatory indexes interleukin-6 (IL-6), tumor necrosis factor-α (TNF-α), and monocyte chemoattractant protein-1 (MCP-1) were tested by ELISA and realtime PCR, while the expression of nuclear factor E2-related factor 2 (*Nrf2*) and heme oxygenase-1 (*HO-1*) was tested by realtime PCR.

**Results**· Compared with the control group, GSH and SOD levels in 3T3-L1 adipocytes increased in a dose-dependent manner after treatment of EGCG (both  $P < 0.05$ ), while MDA level in 3T3-L1 adipocytes decreased dose-dependently after treatment of EGCG ( $P < 0.05$ ). IL-6, MCP-1 and TNF-α levels in 3T3-L1 adipocytes supernatant declined significantly in a dose-dependent manner after treatment of 1, 10 and 50 μg/mL EGCG (all  $P < 0.05$ ). The expression levels of IL-6, MCP-1 and TNF-α in 3T3-L1 adipocytes were decreased in a dose-dependent manner after 24 h treatment of different concentrations of EGCG. *Nrf2* and *HO-1* mRNA levels in 3T3-L1 adipocytes increased significantly in a dose-dependent manner after treatment of 10 and 50 μg/mL EGCG (both  $P < 0.05$ ). Conclusion· EGCG plays an antioxidation and anti-inflammatory effects in 3T3-L1 adipocytes, which may be related to up-regulation of *Nrf2*/*HO-1*.

**[Key words]** epigallocatechin-3-gallate (EGCG); obesity; adipocytes; oxidative stress; inflammation

[基金项目] 国家自然科学基金(81773407, 81102123) (National Natural Science Foundation of China, 81773407, 81102123)。

[作者简介] 买地娜依·库得来提(1989—), 女, 维吾尔族, 硕士生; 电子信箱: madina610@126.com。

[通信作者] 沈秀华, 电子信箱: srachel@126.com。



肥胖常伴随着慢性炎症和氧化应激状态。炎症因子和活性氧的增多，破坏了氧化和抗氧化之间的平衡，易导致组织病理性改变<sup>[1]</sup>。这过程中脂肪组织可能扮演着重要角色。脂肪组织既是一个能量储存器官，也是一个调节内分泌的重要场所，能产生包括炎性因子在内的各种细胞因子<sup>[2]</sup>。表没食子儿茶素没食子酸酯[(-)-epigallocatechin-3-gallate, EGCG]，是绿茶儿茶素中含量最多、最主要的生物活性成分，具有抗炎、抗肿瘤、抗氧化、调节血糖血脂等生物学活性<sup>[3]</sup>。EGCG 作为一种强抗氧化剂，能有效清除自由基，防止活性氧 (reactive oxygen species, ROS) 生成<sup>[4]</sup>，从而缓解肥胖引起的脂质过氧化损伤。EGCG 通过降低促炎症因子和趋化因子的水平而干预炎症的发生，发挥抗炎作用<sup>[5]</sup>。研究报道，EGCG 促进 Nrf2 的表达是其抗氧化作用的重要途径之一<sup>[6]</sup>。已知 EGCG 具有强抗氧化抗炎作用，但 EGCG 是否可以直接作用于脂肪细胞，降低肥胖诱导的慢性炎症和氧化应激状态及其相关机制，目前还不清楚。故本研究采用体外细胞培养的方法，探索 EGCG 对 3T3-L1 成熟脂肪细胞中炎症和氧化应激水平的作用，及其对 Nrf2、HO-1 表达的影响。

## 1 材料与方法

### 1.1 细胞培养和实验分组

3T3-L1 小鼠胚胎成纤维细胞购自 American Type Culture Collection (ATCC)。细胞 80% 融合后进行传代。3T3-L1 前体脂肪细胞生长至接触抑制 48 h 后，将细胞培养液换成分化诱导液 I (含 0.5 mmol/L IBMX、1 μmol/L 地塞米松、10 μg/mL 胰岛素、10%FBS 的 DMEM 培养液) 培养 48 h 后，换成分化诱导液 II (含 10 μg/mL 胰岛素、10% FBS 的 DMEM 培养液) 培养 48 h，再换成含 10% FBS 的 DMEM 培养液继续培养，2 d 换液 1 次。当诱导分化 8 d 的细胞 90% 以上呈成熟脂肪细胞的表型时，用于后续实验。

上述分化成熟的 3T3-L1 脂肪细胞采用 0 (空白对照)、1、10、50 μg/mL 的 EGCG 干预 24 h (EGCG 购自宁波禾普生物科技有限公司，EGCG 含量 ≥ 98%，采用无菌 PBS 溶解，配制成最终浓度为 10 mg/mL 的母液)，各检测指标均采用 3 个复孔进行测定，取其均值。

### 1.2 氧化应激指标检测

取 EGCG 干预 24 h 的分化成熟的 3T3-L1 脂肪细胞，将细胞样本用 PBS 清洗 2 次后，低速离心收集沉淀细胞，再加入 0.3 mL 0.1 mol/L pH7.4 的等渗 PBS 缓冲液悬浮细

胞，超声研磨破碎细胞。取破碎后的细胞悬液 0.1 mL 再加 0.1 mL 沉淀剂混匀，1150 × g 离心 10 min，取细胞上清液，采用分光光度法检测细胞内谷胱甘肽 (glutathione, GSH) 含量。取 EGCG 干预 24 h 的分化成熟的 3T3-L1 脂肪细胞，弃去细胞培养上清，用细胞刮将细胞刮下或者用 0.25% 胰酶消化细胞 2 ~ 3 min，加入培养基终止消化，制成细胞悬液，用微量移液器轻轻吹打，将所有细胞转移到塑料 EP 管中，然后 94 × g 离心 10 min 弃上清，留沉淀的细胞。用 1 mL PBS 轻轻吹打，再次 94 × g 离心 10 min 弃上清，在细胞沉淀中加入一定量的缓冲液，混匀 2 min 后超声破碎细胞制成悬液，采用 WST-1 法检测细胞内超氧化物歧化酶 (superoxide dismutase, SOD) 含量。取 EGCG 干预 24 h 的分化成熟的 3T3-L1 脂肪细胞，弃去细胞培养上清，用细胞刮将细胞刮下，用移液器将细胞转移到塑料离心管中，加提取液 0.5 mL，混匀 2 min 后超声破碎细胞制成悬液，取破碎后的细胞悬液 0.1 mL，采用 TBA 法检测细胞内丙二醛 (malondialdehyde, MDA) 含量。GSH 测定试剂盒 (型号: A006-2)、SOD 测试盒 (型号: A001-3) 和 MDA 测试盒 (型号: A003-2) 均购于南京建成生物工程研究所。

### 1.3 酶联免疫吸附法检测 IL-6、TNF-α、MCP-1 含量

用 0、1、10、50 μg/mL 的 EGCG 干预 24 h 后收集脂肪细胞上清液，按照酶联免疫吸附法 (ELISA) 试剂盒说明书检测白细胞介素 -6 (interleukin-6, IL-6)、肿瘤坏死因子 -α (tumor necrosis factor-α, TNF-α)、单核细胞趋化蛋白 -1 (monocyte chemoattractant protein-1, MCP-1) 的含量。ELISA 试剂盒均购自 eBioscience 公司。

### 1.4 实时荧光定量 PCR 法检测 IL-6、TNF-α、MCP-1、Nrf2 和 HO-1 mRNA 的表达

TRIzol 法提取脂肪细胞总 RNA 后，采用分光光度法测定总 RNA 的浓度和纯度，按说明书反转录体系反转录合成 cDNA，将反转录产物保存于 -20 °C 用于后续检测。所有反转录反应所用试剂均购自 TaKaRa 宝生物工程有限公司。

采用 ABI PRISM HT Real-Time PCR System (Applied Biosystems, 型号 7500, 美国) 进行两步法 PCR 标准扩增程序。反应参数：预变性，95 °C，2 min，1 个循环；热循环，95 °C、15 s, 60 °C、1 min, 40 个循环。反应后确认扩增曲线和熔解曲线。引物序列由上海生工生物工程股份有限公司合成 (表 1)，实验中以 β-actin 基因的表达量作为内参以校正目的基因的表达量。



表1 定量PCR所用基因引物序列  
Tab 1 PCR primer sequence list

Gene	Primer sequences (5'→3')
<i>IL-6</i>	
正向	AACGATGATGCACTTGCAGA
反向	GAGCATTGGAAATTGGGGTA
<i>TNF-α</i>	
正向	TCCCCAAAGGGATGAGAAGTTC
反向	TCATACCAGGGTTGAGCTCG
<i>MCP-1</i>	
正向	GCCCCACTCACCTGCTACT
反向	CCTGCTGCTGGTGATCCTCTGT
<i>Nrf2</i>	
正向	CGAGATATAACGAGGGAGGTAAGA
反向	GCTCGACAATGTTCTCCAGCTT
<i>HO-1</i>	
正向	ACACAAAGACCAGAGTCCC
反向	ACCCCTCAAAAGATAGCCC
β-actin	
正向	ATGGGTACAGAACAGACTCCTACG
反向	AGTGGTACGACCAGAGGCATAC

表2 不同浓度EGCG处理后3T3-L1脂肪细胞GSH、SOD、MDA水平  
Tab 2 Levels of GSH, SOD, MDA in 3T3-L1 adipocytes treated by different concentrations of EGCG

EGCG分组	24 h GSH/(μmol/g)	P值 <sup>①</sup>	24 h SOD/(μmol/g)	P值 <sup>②</sup>	24 h MDA/(nmol/mg)	P值 <sup>③</sup>
0 μg/mL	148.87±14.65	—	68.69±5.32	—	3.01±0.99	—
1 μg/mL	245.11±30.04	0.007	119.29±26.68	0.044	1.17±0.43	0.028
10 μg/mL	293.75±38.51	0.016	133.96±4.09	0.014	0.93±0.24	0.011
50 μg/mL	308.12±85.16	0.001	143.17±14.18	0.001	0.84±0.37	0.007

注: <sup>①</sup>与EGCG 0 μg/mL组比较。

## 2.2 EGCG对3T3-L1脂肪细胞炎症因子表达的影响

由图1可知, 经不同浓度EGCG干预24 h后, 脂肪细胞炎症因子*IL-6*、*MCP-1*和*TNF-α*基因表达量随着EGCG浓度的升高而逐渐下降, 呈剂量依赖性, 且在

## 1.5 统计学方法

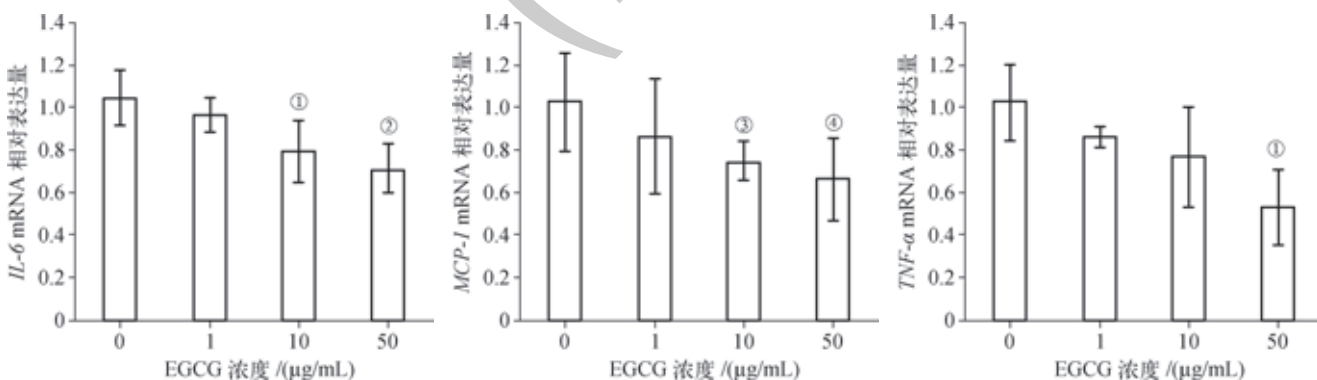
所有指标的数据均以 $\bar{x}\pm s$ 表示。采用SPSS 19.0统计软件进行分析, 各组间均数比较采用单因素方差分析, 两两比较采用LSD法及Dunnet's法,  $P<0.05$ 为差异有统计学意义。

## 2 结果

### 2.1 EGCG对3T3-L1脂肪细胞内氧化应激水平的作用

由表2可知, 经不同浓度EGCG干预24 h后, 3T3-L1脂肪细胞内GSH、SOD含量都较对照组显著升高(均 $P<0.05$ ), 并呈剂量依赖性, 50 μg/mL干预组GSH和SOD水平为最高。经不同浓度EGCG干预24 h后, 3T3-L1脂肪细胞内MDA含量都较对照组显著降低(均 $P<0.05$ ), 并呈剂量依赖性, 50 μg/mL干预组MDA水平为最低。

10 μg/mL和50 μg/mL EGCG作用下*IL-6*和*MCP-1*下降显著(均 $P<0.05$ ), *TNF-α*在50 μg/mL EGCG作用下与对照组相比差异具有统计学意义( $P<0.05$ )。



注: <sup>①</sup> $P=0.001$ , <sup>②</sup> $P=0.032$ , <sup>③</sup> $P=0.006$ , <sup>④</sup> $P=0.007$ , 与EGCG 0 μg/mL组比较。

图1 不同浓度EGCG处理后3T3-L1脂肪细胞炎症因子mRNA水平

Fig 1 Inflammatory cytokines mRNA levels in 3T3-L1 adipocytes treated by different concentrations of EGCG

### 2.3 EGCG 对 3T3-L1 脂肪细胞炎症因子分泌的影响

不同浓度 EGCG 干预 24 h 后, 收集细胞上清液采用 ELISA 法检测炎症因子 IL-6、MCP-1、TNF- $\alpha$  的含量。结果(表 3)发现, 3T3-L1 脂肪细胞培养液中炎症因子 IL-6、

MCP-1、TNF- $\alpha$  水平均随着 EGCG 干预剂量的升高而逐渐下降, 呈剂量依赖性; 且在 10  $\mu\text{g}/\text{mL}$ 、50  $\mu\text{g}/\text{mL}$  EGCG 干预下培养液中炎症因子 IL-6、MCP-1、TNF- $\alpha$  水平下降显著, 与对照组相比差异具有统计学意义 ( $P<0.05$ )。

表 3 3T3-L1 脂肪细胞经不同浓度 EGCG 处理后 IL-6、TNF- $\alpha$ 、MCP-1 分泌水平

Tab 3 Levels of IL-6, TNF- $\alpha$ , MCP-1 secreted by 3T3-L1 adipocytes after treated by different concentrations of EGCG

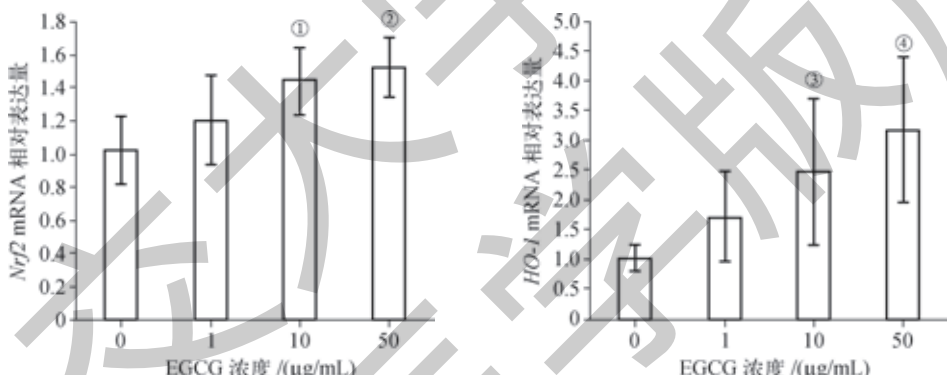
EGCG 分组	IL-6/(pg/mL)	P 值 <sup>①</sup>	TNF- $\alpha$ /(pg/mL)	P 值 <sup>②</sup>	MCP-1/(pg/mL)	P 值 <sup>③</sup>
0 $\mu\text{g}/\text{mL}$	216.73 $\pm$ 22.81	—	10.33 $\pm$ 1.18	—	2 134.83 $\pm$ 210.42	—
1 $\mu\text{g}/\text{mL}$	166.29 $\pm$ 20.78	0.073	8.13 $\pm$ 1.51	0.068	1 863.52 $\pm$ 205.15	0.082
10 $\mu\text{g}/\text{mL}$	120.78 $\pm$ 64.38	0.026	5.98 $\pm$ 2.59	0.035	1 787.18 $\pm$ 108.79	0.037
50 $\mu\text{g}/\text{mL}$	104.11 $\pm$ 12.64	0.002	4.01 $\pm$ 1.03	0.008	1 021.68 $\pm$ 150.09	0.016

注: <sup>①</sup>与 EGCG 0  $\mu\text{g}/\text{mL}$  组比较。

### 2.4 EGCG 对 3T3-L1 脂肪细胞 *Nrf2*、*HO-1* 表达的影响

由图 2 可知, EGCG 干预 24 h 后, 3T3-L1 脂肪细胞内核因子 E2 相关因子 (nuclear factor E2-related factor 2, *Nrf2*) 和血红素氧合酶 -1 (heme oxygenase-1, *HO-1*) 的

基因表达量在不同浓度 EGCG 干预下均有不同程度的上升, 并呈剂量依赖性, 10  $\mu\text{g}/\text{mL}$ 、50  $\mu\text{g}/\text{mL}$  EGCG 干预下表达水平较对照组差异具有统计学意义 (均  $P<0.05$ )。



注: <sup>①</sup> $P=0.004$ , <sup>②</sup> $P=0.003$ , <sup>③</sup> $P=0.027$ , <sup>④</sup> $P=0.001$ , 与 EGCG 0  $\mu\text{g}/\text{mL}$  组比较。

图 2 不同浓度 EGCG 处理后 3T3-L1 脂肪细胞 *Nrf2*、*HO-1* mRNA 水平

Fig 2 mRNA levels of *Nrf2* and *HO-1* in 3T3-L1 adipocytes treated by different concentrations of EGCG

## 3 讨论

肥胖是由于脂肪细胞的增生和肥大, 从而导致脂肪过量和脂肪组织过度堆积的一种状态<sup>[3]</sup>, 氧化应激和炎症反应贯穿肥胖发生发展的始终。脂质的过量蓄积导致了脂肪细胞的肥大, 这一脂肪细胞肥大的过程改变了细胞内的信号, 触发脂肪细胞内的应激反应, 并激活了炎症信号通路<sup>[7]</sup>。这一系列相互关联的复杂过程最终导致脂肪组织慢性炎症的发生。伴随慢性炎症反应, 肥胖者体内氧化应激反应激活, 进而诱导细胞损伤、功能失调和胰岛素敏感性下降, 并导致一系列病理反应<sup>[8]</sup>。虽然有关肥胖的病理机制尚未明确, 但已经有充分的证据表明, 慢性炎症诱导的过量 ROS 和氧化应激对肥胖的发展有重要影响。因此, 炎症和

氧化应激水平的降低成为防治肥胖相关病变的重要策略。

在绿茶多酚中 EGCG 含量最高且活性最强, 在各种细胞、动物和人体实验中已经证实, EGCG 通过清除各种自由基、抑制 ROS 的形成、抑制 NO 的合成、增强抗氧化酶的活性等方法起到抗氧化作用, 并且 EGCG 可以通过抑制多种炎性因子的活性起到很强的抗炎作用<sup>[9]</sup>。有研究<sup>[10]</sup>表明, EGCG 干预显著降低肝损大鼠血清中 TNF- $\alpha$ 、IL-6 等炎症因子水平, 降低肝组织中过氧化产物 MDA 水平, 提高参与抗 ROS 损伤的 GSH 水平。Bose 等<sup>[13]</sup>还通过实验证实, EGCG 能够降低大鼠内皮细胞中炎症因子 MCP-1 的表达。

本研究结果显示, EGCG 可抑制 3T3-L1 脂肪细胞氧化应激水平, 且具有量效关系。其他研究者<sup>[14]</sup>也有类似

研究,发现高糖(40 mmol/L)作用于HK-2细胞24 h后,胞内GSH和SOD水平均明显下降,MDA水平明显升高,而EGCG可明显降低高糖诱导的HK-2细胞内MDA含量,并提高细胞内GSH含量和SOD活性。由此我们可以初步认为,茶多酚可降低3T3-L1脂肪细胞脂质过氧化反应水平,提高3T3-L1脂肪细胞抗氧化酶活性,以实现其对3T3-L1脂肪细胞的氧化应激状态的保护作用,提高细胞的抗氧化能力。

实验证明,脂肪组织的慢性炎症是联系肥胖和代谢类疾病(如胰岛素抵抗和2型糖尿病)的关键所在<sup>[15]</sup>。本研究中3T3-L1成熟脂肪细胞内3种炎症因子IL-6、TNF-α、MCP-1分泌量和表达量的研究结果提示,不同浓度EGCG的干预对不同的炎症因子产生的影响各有差异,但总体趋势基本一致。Pan等<sup>[6]</sup>发现EGCG可降低食物诱导肥胖的雄性C57BL/6J小鼠MCP-1、IL-6水平;Lyu等<sup>[11]</sup>通过双盲、安慰剂对照试验发现EGCG可降低肥胖患者TNF-α水平,并提高抗氧化能力。由此我们可以初步认为,EGCG对3T3-L1脂肪细胞内IL-6、TNF-α和MCP-1含量具有一定的干预作用,能够降低其分泌量,发挥抗炎作用。

本研究发现,3T3-L1脂肪细胞内Nrf2和HO-1的基因表达量在不同浓度EGCG干预下均有不同程度的上升并

呈剂量依赖性,并在10 μg/mL、50 μg/mL EGCG干预下表达水平较空白对照组差异均有统计学意义,而在10 μg/mL、50 μg/mL EGCG干预下本研究所检测的炎症因子含量显著下降。本实验中,经不同浓度EGCG干预,MDA、IL-6、TNF-α、MCP-1水平逐渐下降,而SOD、GSH、Nrf2、HO-1含量逐渐上升。不同浓度EGCG干预后MDA逐渐减少而HO-1逐渐增加,这说明基础状态成熟的3T3-L1脂肪细胞内可能存在一定的氧化应激和炎症现象,而EGCG可以剂量依赖性地改善这2种情况。由此我们可以初步推断,通过EGCG干预后氧化应激和炎症水平得到了明显的改善,进一步确认了EGCG能够直接作用于3T3-L1脂肪细胞并抑制氧化应激和炎症水平,激活Nrf2基因表达,提高HO-1表达量。

综上所述,3T3-L1脂肪细胞在不同浓度EGCG作用下,Nrf2表达量在趋势上与MDA和炎症因子水平的降低、抗氧化酶活性的升高一致。这一结果提示,EGCG可能通过激活Nrf2/ARE通路下调3T3-L1脂肪细胞内炎症水平和氧化应激。仅凭以上的Nrf2和HO-1的mRNA表达结果虽然能够得到一个初步结论,但还不能完全阐明EGCG的作用机制。在后期实验中,拟对EGCG激活脂肪细胞Nrf2/ARE信号通路及其抑制氧化应激和炎症水平的作用机制做进一步探讨。

## 参·考·文·献

- [1] Maiese K. Paring down obesity and metabolic disease by targeting inflammation and oxidative stress[J]. Curr Neurovasc Res, 2015, 12(2): 107-108.
- [2] Singh BN, Shankar S, Srivastava RK. Green tea catechin, epigallocatechin-3-gallate (EGCG): mechanisms, perspectives and clinical applications[J]. Biochem Pharmacol, 2011, 82(12): 1807-1821.
- [3] Siriwardhana N, Kalupahana NS, Cekanova M, et al. Modulation of adipose tissue inflammation by bioactive food compounds[J]. J Nutr Biochem, 2013, 24(4): 613-623.
- [4] Wang S, Moustaid-Moussa N, Chen L, et al. Novel insights of dietary polyphenols and obesity[J]. J Nutr Biochem, 2014, 25(1): 1-18.
- [5] Sun S, Ji Y, Kersten S, et al. Mechanisms of inflammatory responses in obese adipose tissue[J]. Annu Rev Nutr, 2012, 32: 261-286.
- [6] Pan H, Chen J, Shen K, et al. Mitochondrial modulation by epigallocatechin3-gallate ameliorates cisplatin induced renal injury through decreasing oxidative/nitrative stress, inflammation and NF-κB in mice[J]. PLoS One, 2015, 10(4): e0124775.
- [7] Fernández-Sánchez A, Madrigal-Santillán E, Bautista M, et al. Inflammation, oxidative stress, and obesity[J]. Int J Mol Sci, 2011, 12(5): 3117-3132.
- [8] Massicotte P. Oxidative processes as indicators of chemical stress in marine bivalves[J]. Aquat Ecosyst Health, 1994, 3: 101-111.
- [9] Fatima S, Al-Mohameed N, Al-Shaikh Y, et al. Combined treatment of epigallocatechin gallate and Coenzyme Q10 attenuates cisplatin-induced nephrotoxicity via suppression of oxidative/nitrosative stress, inflammation and cellular damage[J]. Food Chem Toxicol, 2016, 94: 213-220.
- [10] 张江江, 贾永芳, 李嘉雯, 等. 表没食子儿茶素-3-没食子酸酯抑制TNF-α和IL-β在小鼠皮肤烫伤修复期间的表达[J]. 中国生物化学与分子生物学报, 2011, 27(2): 168-173.
- [11] Lyu SY, Park WB. Production of cytokine and NO by RAW264.7 macrophages and PBMC *in vitro* incubation with flavonoids[J]. Arch Pharm Res, 2005, 28(5): 573-581.
- [12] Yang J, Han Y, Chen C, et al. EGCG attenuates high glucose-induced endothelial cell inflammation by suppression of PKC and NF-κB signaling in human umbilical vein endothelial cells[J]. Life Sci, 2013, 92(10): 589-597.
- [13] Bose M, Lambert JD, Ju J, et al. The major green tea polyphenol, (-)-epigallocatechin-3-gallate, inhibits obesity, metabolic syndrome, and fatty liver disease in high-fat-fed mice[J]. J Nutr, 2008, 138(9): 1677-1683.
- [14] 代春美, 宋雨泽, 杨伟, 等. EGCG对高糖诱导的HK-2细胞氧化应激损伤的保护作用及机制研究[J]. 天然产物研究与开发, 2016, 28: 673-679.
- [15] Liu D, Zhang X, Jiang L, et al. Epigallocatechin-3-gallate (EGCG) attenuates concanavalin A-induced hepatic injury in mice[J]. Acta Histochem, 2014, 116(4): 654-662.

[收稿日期] 2018-05-03

[本文编辑] 邵碧云